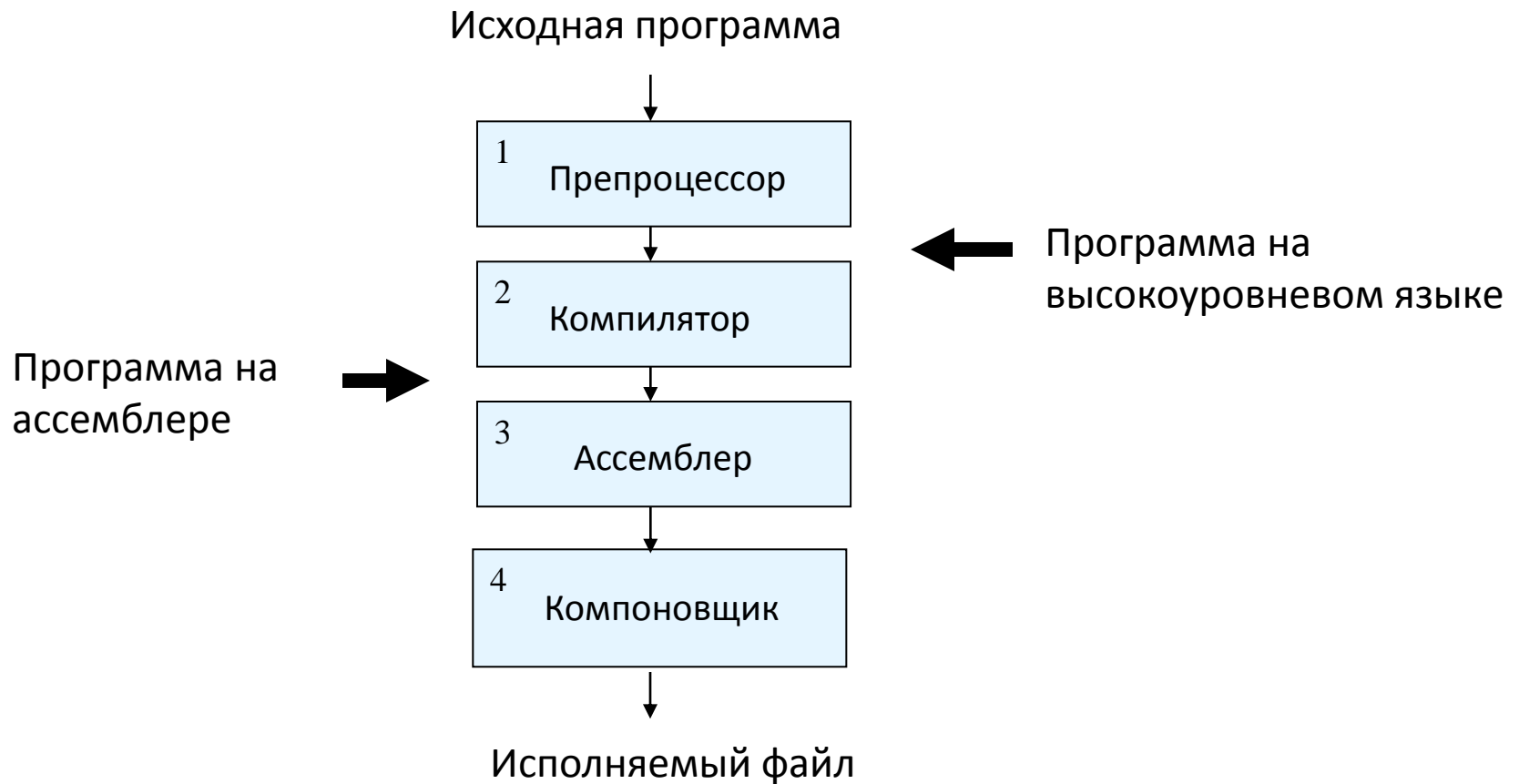


# **Оптимизации в статических и динамических компиляторах и их применение на примере GCC, LLVM, JavaScript- движков и PostgreSQL**

Дмитрий Мельник

dm@ispras.ru

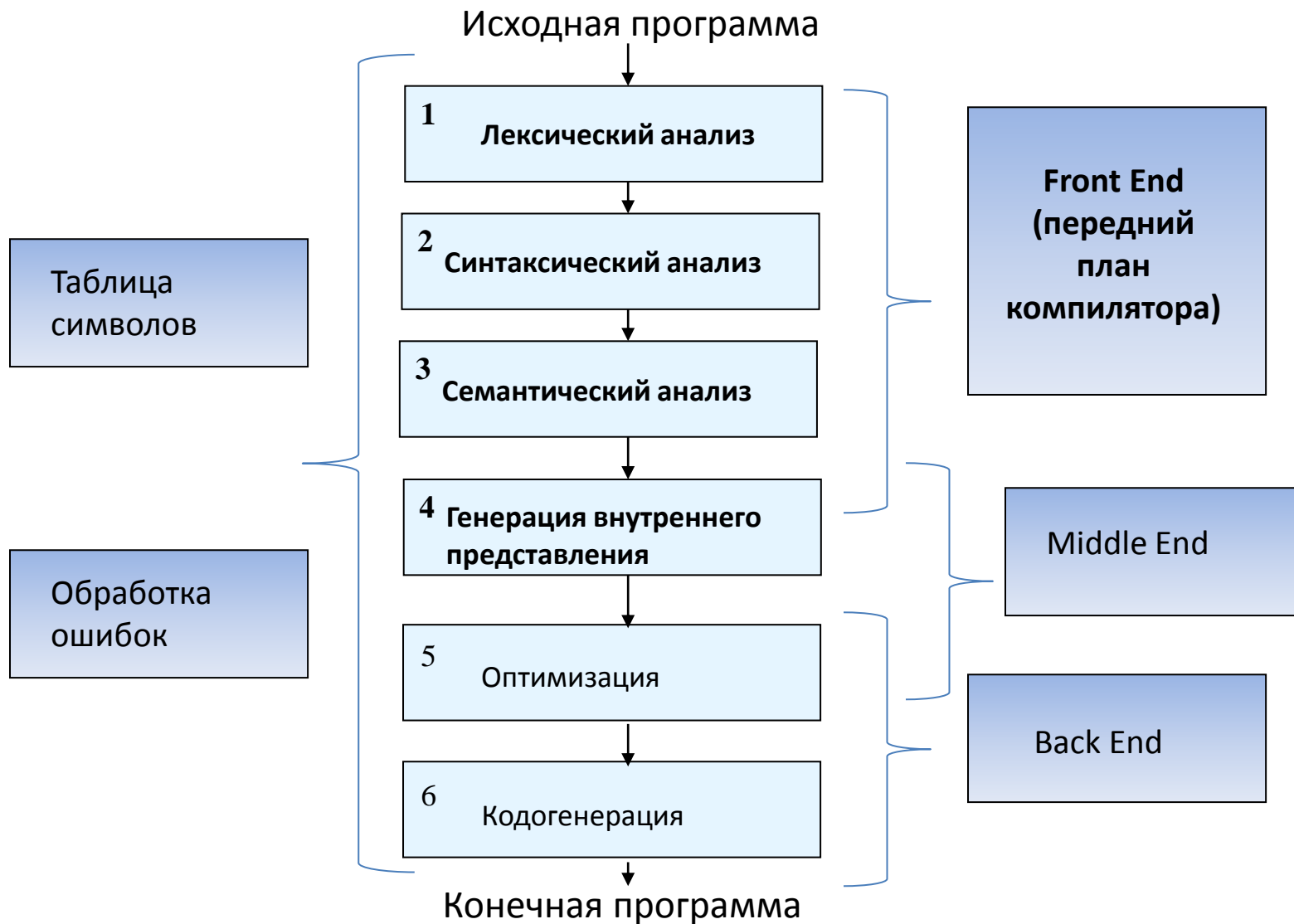
# Цепочка компиляции



# Препроцессирование

- Сформировать входную программу для компилятора
- Макросы – текстовые подстановки
  - `#define i j // Happy debugging!`
- Включение файлов
  - `#include "headers.h"`
- Скрытие деталей реализации
  - `# define tolower(c) __tobody (c, tolower, *__ctype_tolower_loc (), (c))`

# Фазы компиляции



# Структура front-end'a



# Лексический анализ

- Разбить текст (программу) на слова
- Выполняется за один проход по тексту
- Незначащие символы удаляются
  - Пробелы, комментарии
- Мама мыла раму, а папа чинил машину.
  - “Мама”, “мыла”, “раму”, “,”, “а”, “папа”, “чинил”, “машину”, “.”
- `if x == y then z = 1e10; else z = 3.14;`
  - `if, x, ==, y, then, z, =, 1e10, ;, else, z, =, 3.14, ;`

# Синтаксический анализ

- Выделить предложения и разобрать их структуру по правилам грамматики языка
- Часто требует рекурсивного обхода дерева, заглядывания вперед на несколько шагов
- `if x == y then z = 1; else z = 2;`



# Семантический анализ

- Грамматика языка дополняется правилами, позволяющими избегать двусмысленных трактовок

- Внутреннее определение переменной Jack перекрывает внешнее

- Необходимы дополнительные проверки этих правил

- Не больше одного Джека на уровень вложенности

- Проверка соответствия типов

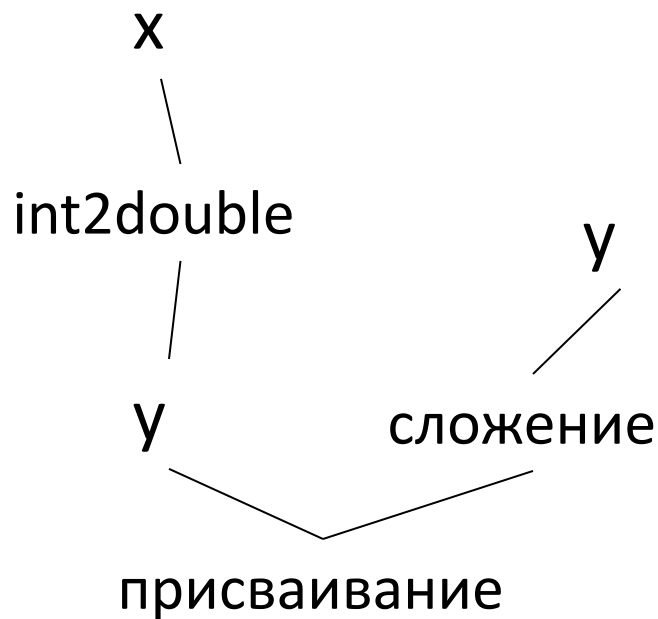
```
{
    char Jack[128];
    {
        int Jack = 4;
        printf(“%d\n”, Jack);
    }
}
```

# Семантический анализ

- Результирующее дерево может содержать дополнительные операции, вставленные на этом этапе

int x, double y;

y = x + y;



- Таблица имен заполняется в ходе всего анализа, начиная с лексического

# Кодогенерация

- Получить ассемблер целевой машины по внутреннему представлению

- Выбор инструкций

int x, double y;                    mov r1, x; add r1, 20; mov y, r1;

y = x + 20;            или        mov r1, x; mov r2, 20; add r1,r2; mov y,r1;

- Распределение регистров

- Количество физических регистров машины меньше, чем переменных в программе
- Для вычислений необходимо использовать промежуточную память

- Поддержка ABI целевой платформы

# Оптимизация программы

- Наиболее интересная и “наукоемкая” часть компилятора
- Оптимизация обычно состоит из двух частей:
  - Анализ программы – определение необходимых свойств
  - Преобразование программы – поиск выгодных упрощений и их применение
- Машинно-независимые оптимизации
  - Имеют смысл для любой платформы
- Машинно-зависимые оптимизации
  - Во внутреннее представление привносится знание о целевой архитектуре – адресная арифметика, регистры
- Оптимизации, использующие профиль программы, т.е. знание о её типичном поведении
  - Двухпроходная компиляция
- Оптимизации во время выполнения программы (динамические)

# Транслятор

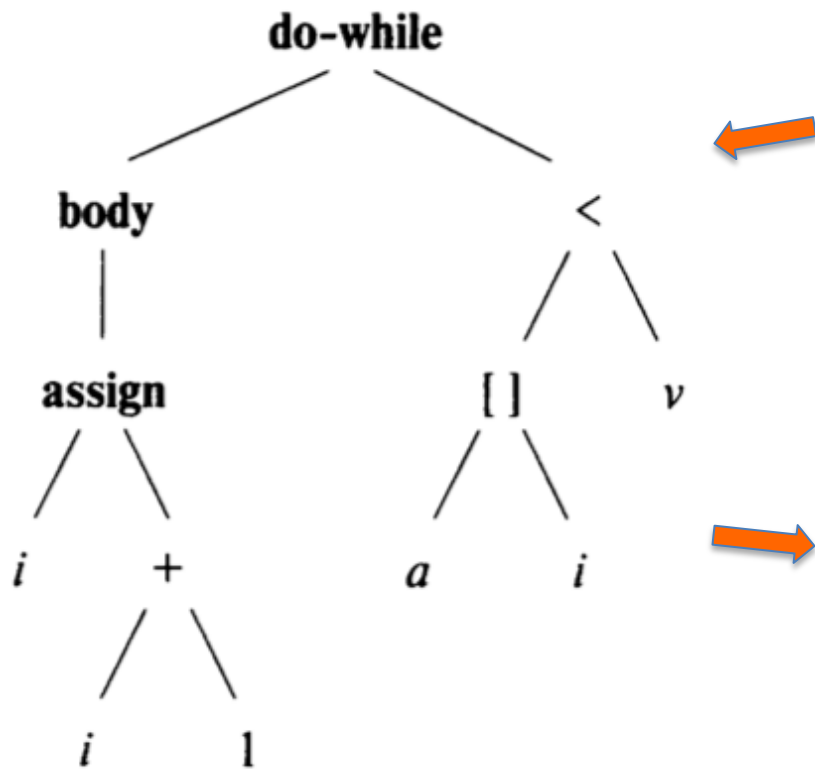
```
{  
  int i; int j; float[100] a;  
  float v; float x;  
  while ( true ) {  
    do i = i+1; while ( a[i] < v );  
    do j = j-1; while ( a[j] > v );  
    if ( i >= j ) break;  
    x = a[i];  
    a[i] = a[j];  
    a[j] = x;  
  }  
}
```

```
1: i = i + 1  
2: t1 = a [ i ]  
3: if t1 < v goto 1  
4: j = j - 1  
5: t2 = a [ j ]  
6: if t2 > v goto 4  
7: ifFalse i >= j goto 9  
8: goto 14  
9: x = a [ i ]  
10: t3 = a [ j ]  
11: a [ i ] = t3  
12: a [ j ] = x  
13: goto 1  
14:
```

Исходная программа

Результат трансляции: промежуточное  
представление (трехадресный код)

# Трансляция во внутреннее представление



Абстрактное Синтаксическое  
Дерево (AST)

Исходная программа

```
do {
  i = i + 1 ;
} while (a[i] < v) ;"
```

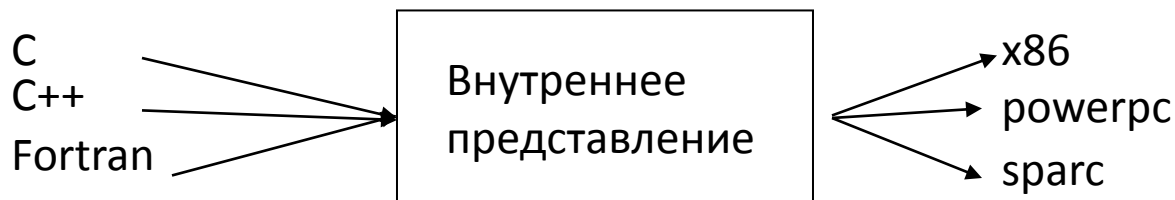
---

```
1: i = i + 1
2: t1 = a [ i ]
3: if t1 < v goto 1
```

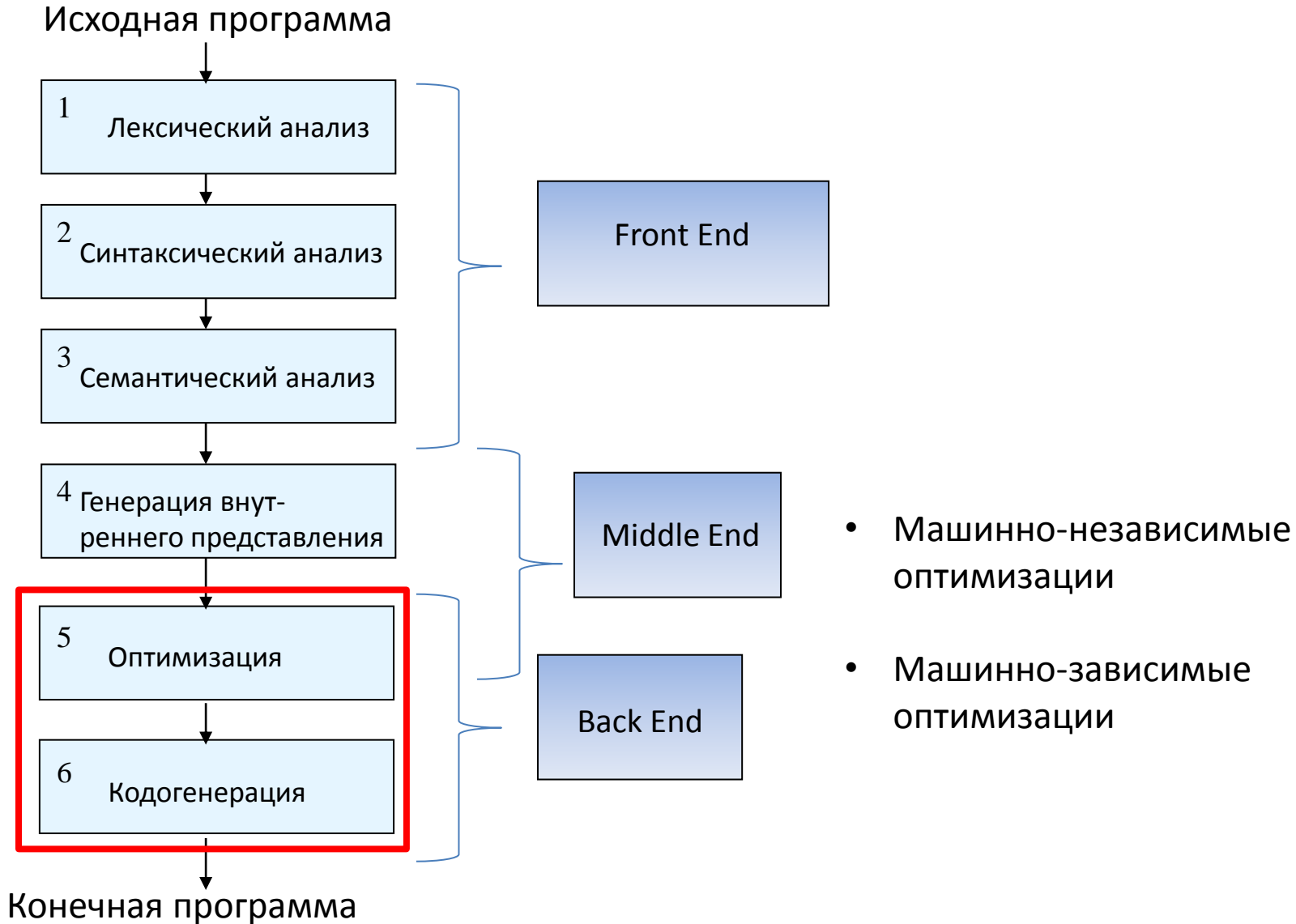
Результат трансляции: промежуточное  
представление (трехадресный код)

# Зачем нужно внутреннее представление

- Удобство выполнения анализа и синтеза
- Возможность построить компилятор с нескольких языков на несколько архитектур (gcc)
- Для разных этапов – разные представления



# Фазы компиляции



# Middle End или Back End?

- Вообще говоря, разделение на middle end/back end и машинно-зависимые/независимые оптимизации условно. В GCC удобнее проводить подобное разделение по тому, на каком внутреннем представлении работают оптимизации
- После распределения регистров внутреннее представление становится машинно-зависимым: появляется адресная арифметика, указатель на стек, регистры

```
int a[];  
a[i] = a[j]*3 + a[k];
```



```
a1 = a + j*sizeof(int)  
t1 = *a1  
t1 = t1 * 3  
a2 = a + k*sizeof(int)  
t2 = *a2  
t1 = t1+t2  
a3 = a + i*sizeof(int)  
*a3 = t2;
```

# Машинно-независимые оптимизации

- Внутреннее представление – обычно трехадресное
  - Временные переменные (псевдорегистры) и память
  - Сохраняется знание о высокоуровневых типах

```
a[i] = a[j]*3 + a[k];
```



```
t1 = a[j]; t2 = t1 * 3;  
t3 = a[k]; t4 = t2 + t3;  
a[i] = t4;
```

- Примеры машинно-независимых оптимизаций:
  - Удаление мертвого кода (кода, который не влияет на результат)
  - Скалярные оптимизации (упрощение выражений)
  - Оптимизации циклов (над массивами)
  - Встраивание функций (inlining)
  - Продвижение констант (constant propagation)
  - Трансформация циклов (loop transformation: loop unrolling, peeling, distribution, fusion)

# Встраивание функций (inlining)

```
class Bar {  
    int size;  
    Bar(int _size) {  
        size = _size;  
    }  
    int getSize() {  
        return size;  
    }  
}  
Bar a(10), b(20);  
int x = a.getSize() +  
        b.getSize();
```



```
int sum = a.size + b.size;
```



```
int sum = 30;
```

- Встраивание особенно эффективно для C++ кода, где часто используются небольшие функции для доступа к полям классов

# Встраивание функций (inlining)

```
int foo(int a, int b, int c, int d,  
        int e)
```

```
{  
    return a + b + c + d + e;  
}
```



```
int main() {  
    return 1 + 2 + 3 + 4 + 5;  
}
```

```
int main() {  
    return foo(1, 2, 3, 4, 5);  
}
```

- Увеличится ли размер кода после выполнения оптимизации? Станет ли быстрее? Что нужно учитывать, чтобы вычислить это?
- По умолчанию, в GCC встраивание выполняется, только если в результате размер кода уменьшится.

# Встраивание функций (inlining)

```
void bar();

int foo(int a, int b, int c, int d,
        int e)
{
    int arr[100];
    ...
    bar();
    return a + b + c + d + e;
}

int main() {
    return foo(1, 2, 3, 4, 5);
}
```

## Пролог:

- Сохранение регистров, которые «портит» функция
- Сохранение и установка stack pointer

## Эпилог:

- Восстановление регистров и stack pointer
- Возврат из функции

## Вызов функции:

- Подготовка аргументов

```
foo:
    .cfi_startproc
    movq    %rbx, -32(%rsp)
    movq    %rbp, -24(%rsp)
    movq    %r12, -16(%rsp)
    movq    %r13, -8(%rsp)
    subq    $440, %rsp
    ...
    movq    408(%rsp), %rbx
    movq    416(%rsp), %rbp
    movq    424(%rsp), %r12
    movq    432(%rsp), %r13
    addq    $440, %rsp
    ret

main:
    ...
    movl   $5, %r8d
    movl   $4, %ecx
    movl   $3, %edx
    movl   $2, %esi
    movl   $1, %edi
    call  foo
```

# Встраивание функций (inlining)

```
void bar();

int foo(int a, int b, int c, int d,
        int e)
{
    int arr[100];
    ...
    bar();
    return a + b + c + d + e;
}

int main() {
    return foo(1, 2, 3, 4, 5);
}
```

## Пролог:

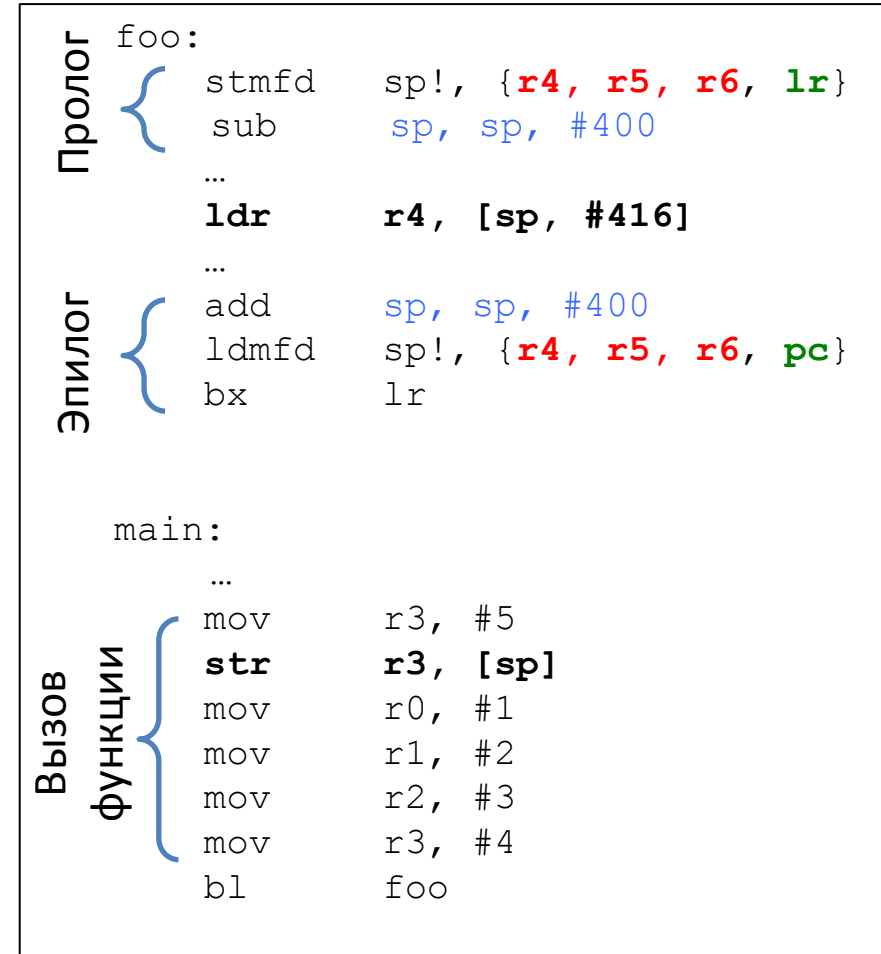
- Сохранение **регистров**, которые «портит» функция, а также **адреса возврата** (в **LR**)
- Сохранение и установка **stack pointer**

## Эпилог:

- Восстановление **регистров** и **stack pointer**
- **Возврат** из функции (**lr** записывается в **pc**)

## Вызов функции:

- Подготовка 1-х четырех аргументов в регистры, 5-го в стек



ARMv7

# Насколько машинно-независимые оптимизации все-таки зависят от архитектуры?

- Существует API, через который машинно-независимые оптимизации могут запрашивать необходимые параметры у целевой платформы, например:
  - стоимость инструкций (выраженную в размере кода или в количестве необходимых пересылок);
  - Поддержка аппаратных особенностей: условное выполнение, предзагрузка, величина выравнивания
  - Доступность функциональных устройств процессора (моделирование конвейера)

# Машинно-зависимые оптимизации

- Внутреннее представление становится машинно-зависимым
  - Адресная арифметика, указатель на стек, регистры

- Распределение регистров

$r5 = r4 + r8 * 4$ ;  $r1 = [r5]$ ;  $r1 = r1 * 3$ ;  $r6 = r4 + r9 * 4$ ;  $r2 = [r6]$ ;  $r1 = r1 + r2$ ;  
 $r7 = r4 + r10 * 4$ ;  $[r7] = r2$ ;

- Планирование команд

$r5 = r4 + r8 * 4$ ;  $r6 = r4 + r9 * 4$ ;  $r7 = r4 + r10 * 4$ ;  $r1 = [r5]$ ;  $r2 = [r6]$ ;  $r1 = r1 * 3$ ;  
 $r1 = r1 + r2$ ;  $[r7] = r2$ ;

- Оптимизации, специфичные для данной архитектуры

- Peephole (замена соседних команд на более эффективный вариант)
- Оптимизация кодировки (Thumb-2)
- Выбор шаблонов инструкций (IA-64)

# Уровни параллелизма в процессоре

- **Конвейер**
  - Позволяет параллельно исполнять инструкции, находящиеся на разных стадиях исполнения
- **Параллелизм функциональных устройств**
  - Несколько конвейеров / функциональных устройств

# Конвейер ARM

- Cortex-A8, A7
  - Конвейер из 13 стадий
  - 2 АЛУ устройства, 1 Load/Store, 1 Multiply
  - Может выполнять до 2-х команд за такт
  - Из них должно быть не более одной Load/Store и Multiply, причем умножение должно идти первым
- Cortex-A9, A15, A57: используется динамическое переупорядочение команд

# Примеры расписания выполнения команд на конвейере

- **ADD r1, r2, r3**
  - r2, r3: требуются перед E2
  - r1: готов после E2
- **MOV r1, r2 asl #const**
  - r2: требуется перед E1
  - r1: готов после E1
- Такие две команды могут начать выполняться на одном такте:

	E1	E2
mov r1, r2	R2	
add r3, r1, r2		R1, R2

← Стадии конвейера

- При выдаче этих команд в обратном порядке появится задержка в 2 такта:

	E1	E2	E3
add r3, r1, r2	--	R1, R2	
mov r4, r3	Ожидание готовности R2		R3

Обозначения:

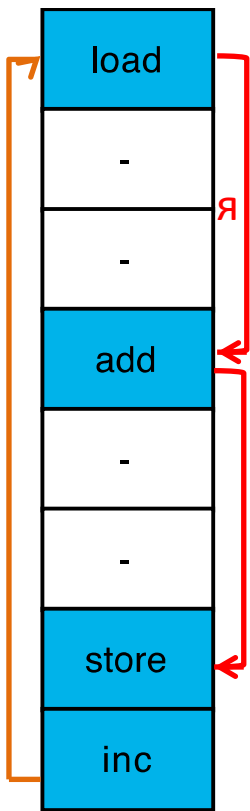
Rn – Регистр требуется в начале стадии выполнения E<sub>i</sub>

Rk – Записывается в конце стадии E<sub>i</sub>

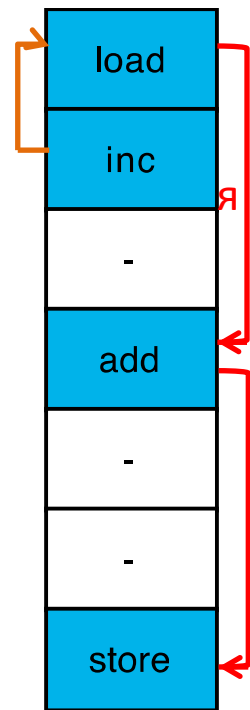
# Планирование команд

```
loop:
  arr[i] = arr[i] + 1
  i++
  goto loop
```

Задача: требуется минимизировать длину расписания так, чтобы зависимости по данным между командами были удовлетворены



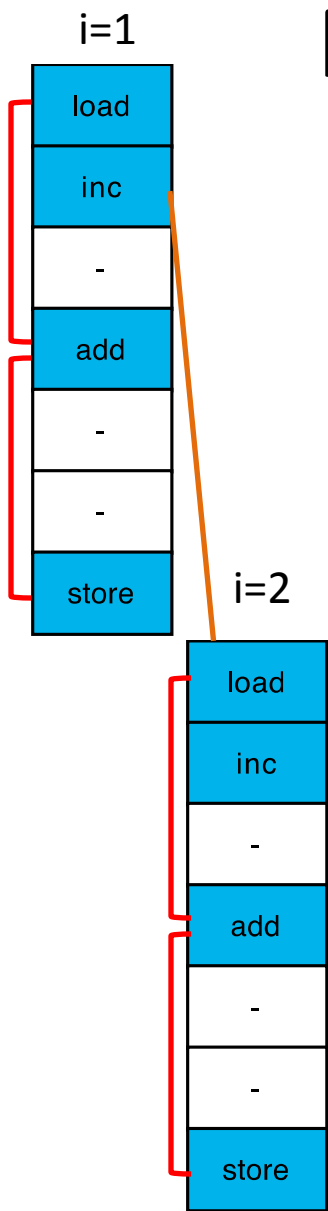
Исходный цикл



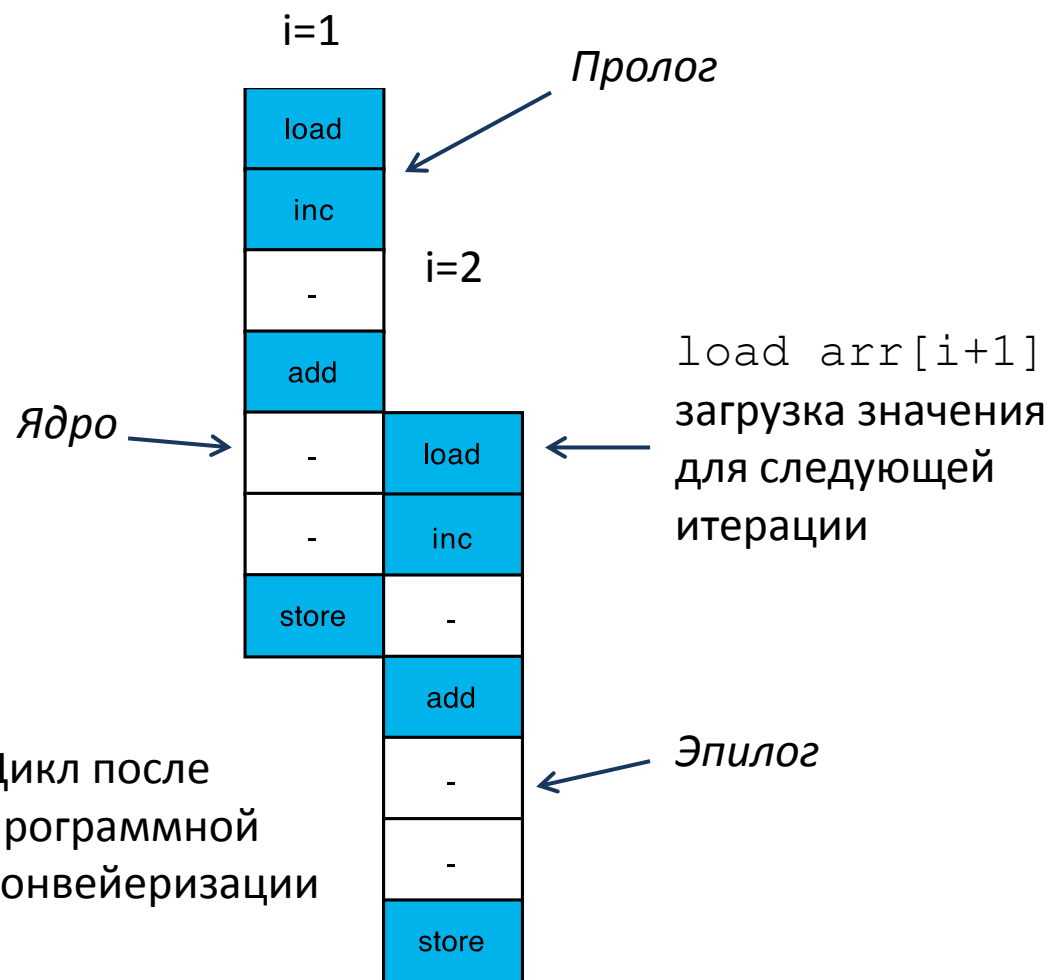
Цикл после планирования команд

зависимости по данным (к текущей и к следующей итерации)

# Программная конвейеризация ЦИКЛОВ



Цикл после планирования команд



Цикл после программной конвейеризации

# Селективный планировщик

**-O2**

```

.L11:
    ldr    ip, [r3, r7]
    ldr    r4, [r3, r6]
    add   r3, r3, #4
    cmp   r3, r5
    mla   r2, r4, ip, r2
    mul   r1, r2, r1
    bne   .L11
    
```

2 cycles (for ldr and add)  
5 cycles (for mla and mul)

**До:**  
12 тактов

**Selective Scheduling**

```

Prologue
    ldr    r4, [r3, r7]
    mov   ip, #1
    ldr    r5, [r3, r8]
    mov   r2, r3
.L15:
    mla   r2, r5, r4, r2
    cmp   r1, r6
    mov   r3, r1
    ldrne r4, [r3, r7]
    addne r1, r3, #4
    ldrne r5, [r3, r8]
    mul   ip, r2, ip
    bne   .L15
    
```

**После:**  
8 тактов

Ускорение  
8%

**Source**

```

int foo(int N) {
    int i;
    int a=0, b=1;
    for (i=0; i<N; i++)
    {
        a += x[i] * y[i];
        b *= a;
    }
    return a+b;
}
    
```

**Селективный планировщик выполняет конвейеризацию циклов**

- «Скрывает» задержки у долгих команд, перенося их на предыдущую итерацию цикла
- Помогает использовать параллелизм на уровне команд
- Среднее ускорение 1-3%

# Улучшения кодогенерации для ARM Advanced SIMD (NEON)

- **Более полная поддержка команд NEON**

Например, поддержка комбинирования  $|a - b|$  в одну команду NEON:

```
vsub  
vabs      →      vabd
```

Производительность: **+2.5%** (x264)  
Уменьшение размера: **0.1%** (x264)

- **Улучшение распределения регистров для векторов констант**

Запрет на размещение векторных констант в обычных ARM регистрах

Производительность: **+3%** (evas)

- **Поддержка преобразования из float в int в векторизации**

Циклы, в которых используется преобразование типов, теперь могут быть векторизованы с использованием команды `vcvt`

Производительность: **+9%** (libmp3lame)

# Кодировка команд

**ADDGE** r0, r1, r2 asr #31

Действие:

```
if (flags_match (GE))
    r0 = r1 + r2 >> 31;
```

ADD{S}<c> <Rd>, <Rn>, <Rm>{, <shift>}

31	30	29	28	27	26	25	24	23	22	21	20	19	18	17	16	15	14	13	12	11	10	9	8	7	6	5	4	3	2	1	0
cond		0	0	0	0	1	0	0	S	Rn			Rd			imm5			type	0	Rm										

GE ALU ADD 0 1 0 0 31 ASR 2  
(w/reg)

Действие:

```
r0 = r1 & ~0xff000000;
set_flags();
```

**BICS** r0, r1, #FF000000

ADD{S}<c> <Rd>, <Rn>, #<const>

31	30	29	28	27	26	25	24	23	22	21	20	19	18	17	16	15	14	13	12	11	10	9	8	7	6	5	4	3	2	1	0
cond		0	0	1	0	1	0	0	S	Rn			Rd			imm12															

# Представление констант

Второй аргумент ALU-команд может быть также константой, которая кодируется 12 битами (8 бит значение, 4 бита величина сдвига):

$$CONST\_32 = CONST\_8 \ll (2 * N), \quad 0 \leq N < 16$$

*Примеры правильных и неправильных констант:*

```
and r1, r1, #255
and r1, r1, #510
and r1, r1, #0xff00ff00
and r1, r1, #0xff000000
```

# Представление констант

Второй аргумент ALU-команд может быть также константой, которая кодируется 12 битами (8 бит значение, 4 бита величина сдвига):

$$CONST\_32 = CONST\_8 \ll (2 * N), \quad 0 \leq N < 16$$

*Примеры правильных и неправильных констант:*

```
and r1, r1, #255
```

```
and r1, r1, #510 // 510 = 255 << 1 – нечетный сдвиг
```

```
and r1, r1, #0xff00ff00 // значение «шире» 8 бит
```

```
and r1, r1, #0xff000000
```

# Улучшение оптимизации GCSE и комбинирования команд в GCC

## Исходный пример

```
if (x)
  a = b + c << 2;
else
  d = e + c << 2;
```

## Было в GCC (неверно)

```
mov r1, r2, asl #2
cmp r3, #0
bne L1
add r4, r5, r1
b .L2
.L1:
add r6, r7, r1
```

## После исправления

```
cmp r3, #0
bne L1
add r4, r5, r2, asl #2
b .L2
.L1:
add r6, r7, r2, asl #2
```

## Проблема:

- Оптимизация GCSE (Global Common Subexpression Elimination) «не знает» о возможности ARM barrel shifter
- Комбинирование команд (которое о нем «знает») работает только в пределах базового блока

## Решение:

- Исправить GCSE
- Доработать оптимизацию комбинирования команд

## Результаты:

- Сокращение размера кода: **3.6 Kb** на SPEC 2K INT (**0.1%**)
- Используется меньше регистров

# Режимы процессора ARM

	ARM	Thumb-1	Thumb-2
Размер команды	32 бит	16 бит	16/32 бит
Кол-во команд	~60	30	~60
Условное выполнение	Почти все команды	Нет	С помощью IT-блоков
Сдвиг аргументов	Во всех командах ALU	Отдельные команды	В 32-битных командах
Доступные регистры	15 общего назначения + pc	8 общего назначения + 7 специальных + pc	15 общего назначения + pc
Примеры команд	<code>add r1, r2, r3</code> <code>asl #2</code> <b>(A)</b>	<code>add r1, r2</code> <b>(B)</b>	Обе формы допустимы; Размер <b>(A)</b> – 16 бит, <b>(B)</b> – 32 бит

# Улучшения обработки условных команд Thumb-2

## Проблемы:

- Команда внутреннего представления RTL `if-then-else` раскрывается напрямую в ассемблер слишком поздно
- Слишком ранняя оптимизация коротких Thumb-2 команд мешает последующему преобразованию в условную форму
- IT блоки могут быть разделены в планировщике

## Решения:

- Раньше раскрывать `if-then-else` в RTL
- Изменить порядок оптимизаций в GCC
- Отдавать приоритет командам с тем же предикатом в планировщике

## RTL псевдо-код

```
a = (x == 0) ? 1 : 2;  
b = (x == 0) ? 3 : 4;
```

## До

```
cmp r1, #0  
ite eq  
moveq r2, #1  
movne r2, #2  
ite eq  
moveq r3, #3  
movne r3, #4
```

## После

```
cmp r1, #0  
itete eq  
moveq r2, #1  
movne r2, #2  
moveq r3, #3  
movne r3, #4
```

# Улучшения обработки условных команд Thumb-2

## Другие улучшения:

- Преобразовывать максимум 4 команды, чтобы не увеличивать код
- Не преобразовывать команды в условную форму, если вероятность одной дуги значительно выше другой (напр. 90% к 10%)

### Исходный пример

```
cmp r1, #0
bne .L2
mov r1, #1
mov r2, #2
mov r3, #3
mov r4, #4
mov r5, #5
.L2:
...
```

### Преобразованный в условную форму

```
cmp r1, #0
itttt eq
moveq r1, #1
moveq r2, #2
moveq r3, #3
moveq r4, #4
it eq
moveq r5, #5
...
```

Условный переход удаляется, один IT блок - ОК

Преобразование более 5 команд «стоит» лишней IT-команды

# Улучшения обработки условных команд Thumb-2

## Другие улучшения:

- Преобразовывать максимум 4 команды, чтобы не увеличивать код
- **Не преобразовывать команды в условную форму, если вероятность одной дуги значительно выше другой (напр. 90% к 10%)**

### Исходный пример

```
cmp r1, #0
bne .L2
mov r1, #1
mov r2, #2
mov r3, #3
mov r4, #4
mov r5, #5
.L2:
...
```

Если вероятность перехода высокая, то лучше полагаться на branch prediction

### Преобразованный в условную форму

```
cmp r1, #0
itttt eq
moveq r1, #1
moveq r2, #2
moveq r3, #3
moveq r4, #4
it eq
moveq r5, #5
...
```

Иначе конвейер может быть заполнен кодом, который никогда не выполняется

# Использование сокращенной кодировки Thumb-2

32 bit:

```
ADD R9, R10, R11
```

16 bit:

```
ADDS R1, R2, R3
```

**arm\_reorg:**

Если регистр флагов не используется, а номера регистров  $< 8$ , то добавить суффикс "S". тогда команда станет 16-битной

**новая оптимизация:**

Если кодировка команды допускает 16-битную версию при условии, что номера регистров  $< 8$ , то попытаться распределить команде регистры с маленькими номерами

**TACT**

# TACT: Tool for Automatic Compiler Tuning

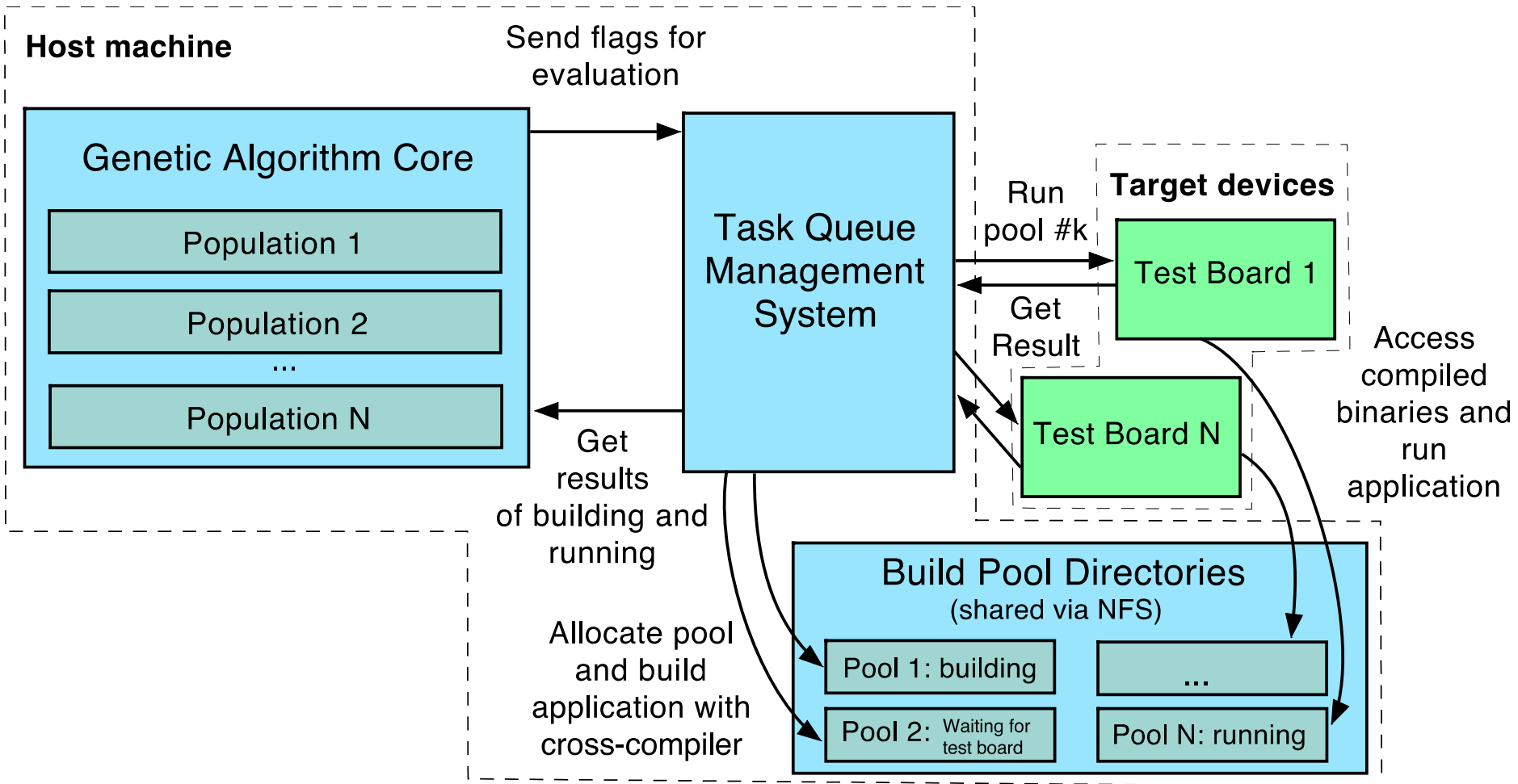
- Motivation

- GCC is multiplatform compiler, has 150+ optimizations which are not always tuned well for the specific platform
- Goal: improve the performance of GCC for ARM
- Traditional approach: profile application, then find out what needs to be improved in the compiler
- It's difficult, and takes much time and expertise

- Performance analysis involving TACT:

- Use Genetic Algorithm to find best-performing compile options
  - Also find default -O2 optimizations that make code worse
- Find which of the options impact performance the most
- Compare the assembly
- Fix relevant optimization in GCC to make what we've found the compiler's default behavior

# How TACT Works



# Tuning Results (raw)

-O2 -mcpu=cortex-a9 -mtune=cortex-a9 -mfpu=neon -mfloat-abi=softfp -fno-aggressive-loop-optimizations -fno-align-functions -fno-align-jumps -fno-align-labels -falign-loops -fno-argument-alias -fno-argument-noalias -fargument-noalias-anything -fno-argument-noalias-global -fno-associative-math -fno-asynchronous-unwind-tables -fno-auto-inc-dec -fbranch-count-reg -fbranch-probabilities -fno-branch-target-load-optimize -fno-branch-target-load-optimize2 -fno-btr-bb-exclusive -fcallee-saves -fcheck-data-deps -fno-combine-stack-adjustments -fno-common -fcompare-elim -fconserve-stack -fno-cprop-registers -fcrossjumping -fcse-follow-jumps -fcse-skip-blocks -fno-data-sections -fdce -fdefer-pop -fno-delayed-branch -fdelete-dead-exceptions -fdelete-null-pointer-checks -fdevirtualize -fno-dse -fearly-inlining -fno-expensive-optimizations -ffast-math -ffinite-math-only -ffloat-store -fno-forward-propagate -ffunction-cse -fno-function-sections -fgcse -fgcse-after-reload -fgcse-las -fgcse-lm -fgcse-sm -fguess-branch-probability -fhoist-adjacent-loads -fif-conversion -fno-if-conversion2 -fno-indirect-inlining -finline -finline-functions -finline-functions-called-once -finline-small-functions -fipa-cp -fipa-cp-clone -fno-ipa-matrix-reorg -fipa-pta -fipa-pure-const -fno-ipa-reference -fipa-sra -fipa-struct-reorg -fivopts -fno-jump-tables -fkeep-inline-functions -fkeep-static-consts -floop-nest-optimize -fmerge-all-constants -fmerge-constants -fmodulo-sched -fno-modulo-sched-allow-regmoves -fmove-loop-invariants -fno-optimize-register-move -foptimize-sibling-calls -foptimize-strlen -fno-pack-struct -fno-partial-inlining -fno-peel-loops -fpeehole -fpeehole2 -fpredictive-commoning -fno-prefetch-loop-arrays -fno-reciprocal-math -free -fno-reg-struct-return -fno-regmove -frename-registers -fno-reorder-functions -fno-rerun-cse-after-loop -freschedule-modulo-scheduled-loops -frounding-math -fno-sched-critical-path-heuristic -fno-sched-dep-count-heuristic -fno-sched-group-heuristic -fno-sched-interblock -fno-sched-last-insn-heuristic -fsched-pressure -fno-sched-rank-heuristic -fno-sched-spec -fsched-spec-insn-heuristic -fno-sched-spec-load -fsched-spec-load-dangerous -fsched-stalled-insns -fno-sched-stalled-insns-dep -fsched2-use-superblocks -fsched2-use-traces -fno-schedule-insns -fschedule-insns2 -fshrink-wrap -fno-section-anchors -fno-selective-scheduling -fselective-scheduling2 -fsel-sched-pipelining -fno-sel-sched-pipelining-outer-loops -fno-sel-sched-reschedule-pipelined -fsee -fno-signed-zeros -fno-single-precision-constant -fsplit-ivs-in-unroller -fsplit-wide-types -fno-stack-check -fno-thread-jumps -ftoplevel-reorder -fno-tracer -fno-trapping-math -fno-tree-bit-ccp -fno-tree-builtin-call-dce -fno-tree-ccp -ftree-ch -ftree-coalesce-vars -ftree-copy-prop -ftree-copyrename -ftree-cselim -ftree-dce -fno-tree-dominator-opts -fno-tree-dse -ftree-forwprop -ftree-fre -ftree-loop-distribution -ftree-loop-distribute-patterns -fno-tree-loop-if-convert -ftree-loop-if-convert-stores -fno-tree-loop-im -ftree-loop-ivcanon -fno-tree-loop-optimize -ftree-lrs -ftree-partial-pre -fno-tree-phi-prop -fno-tree-pre -ftree-pta -ftree-reassoc -ftree-scev-cprop -ftree-sink -fno-tree-slp-vectorize -ftree-slsr -fno-tree-sra -fno-tree-switch-conversion -fno-tree-tail-merge -fno-tree-ter -fno-tree-vecl-loop-version -fno-tree-vectorize -fno-tree-vrp -fno-unroll-all-loops -fno-unroll-loops -fno-unsafe-loop-optimizations -fno-unsafe-math-optimizations -fno-unswitch-loops -fno-unwind-tables -fno-variable-expansion-in-unroller -fvect-cost-model -fno-vpt -fno-web -fno-ira-loop-pressure -fira-algorithm=CB -fira-region=all -fira-share-save-slots -fno-ira-share-spill-slots --param ira-max-loops-num=1000 --param inline-unit-growth=50 --param large-function-growth=100 --param large-function-insns=4800 --param large-stack-frame=264 --param large-stack-frame-growth=900 --param large-unit-insns=3000 --param max-delay-slot-live-search=669 --param max-inline-insns-auto=220 --param max-inline-insns-recursive=950 --param max-inline-insns-single=350 --param max-inline-recursive-depth=19 --param max-inline-recursive-depth-auto=17 --param max-variable-expansions-in-unroller=3 --param max-unrolled-insns=330 --param max-average-unrolled-insns=140 --param max-unroll-times=10 --param max-peeled-insns=360 --param max-peel-times=8 --param max-completely-peeled-insns=700 --param max-completely-peel-times=16 --param max-once-peeled-insns=680 --param min-inline-recursive-probability=7 --param simultaneous-prefetches=8 --param l1-cache-line-size=0 --param prefetch-latency=800 --param l1-cache-size=24 --param l2-cache-size=160 --param min-insn-to-prefetch-ratio=10 --param prefetch-min-insn-to-mem-ratio=0

# Filtering the Results

- If compiling with and without a compiler option produces an identical binary, we throw it out
- Typically, only **15-30%** of the original options left in the resulting set
- Example of the reduced set of options (SPEC2K's `255.vortex` benchmark, 41 of 200 left):

```
-O2 -mcpu=cortex-a9 -mtune=cortex-a9 -mfpu=neon -mfloat-abi=softfp -fno-aggressive-loop-optimizations -fno-auto-inc-dec -fbranch-probabilities -fno-common -fconserve-stack -fno-cprop-registers -fno-dse -fno-expensive-optimizations -ffinite-math-only -ffloat-store -fno-forward-propagate -fgcse-after-reload -fgcse-las -fgcse-sm -fno-if-conversion2 -finline-functions -fipa-pta -fno-jump-tables -fkeep-inline-functions -fmodulo-sched -fno-partial-inlining -frename-registers -fno-reorder-functions -fno-rerun-cse-after-loop -fno-sched-interblock -fno-schedule-insns -fno-section-anchors -fselective-scheduling2 -fno-thread-jumps -fno-tree-ccp -fno-tree-dominator-opts -fno-tree-dse -fno-tree-loop-optimize -fno-tree-pre -fno-tree-sra -fno-tree-switch-conversion -fno-tree-ter -fno-tree-vrp -fira-algorithm=CB -fira-region=all -fno-ira-share-spill-slots --param ira-max-loops-num=1000 --param inline-unit-growth=50 --param large-stack-frame=264 --param large-stack-frame-growth=900 --param large-unit-insns=3000 --param max-inline-insns-auto=220 --param l1-cache-line-size=0
```

# Example: Tuning Results for 255.vortex from SPEC2K INT

Score	%Prev	%Base	Flags diff
10.720	0.00%	0.00%	-O2 -mcpu=cortex-a9 -mtune=cortex-a9 -mfpu=neon -mfloat-abi=softfp
10.340	3.54%	3.54%	-finline-functions
9.990	3.38%	6.81%	-fno-if-conversion2
10.050	-0.60%	6.25%	-fno-sched-interblock
9.870	1.79%	7.93%	-fselective-scheduling2
9.910	-0.41%	7.56%	-fno-tree-pre
9.730	1.82%	9.24%	--param max-inline-insns-auto=220
9.620	1.13%	10.26%	-fno-tree-dominator-opts
9.530	0.94%	11.10%	-fno-schedule-insns
9.490	0.42%	11.47%	-frename-registers
9.550	-0.63%	10.91%	-fno-forward-propagate
9.360	1.99%	12.69%	-fbranch-probabilities
9.330	0.32%	12.97%	-fno-rerun-cse-after-loop
9.340	-0.11%	12.87%	-fgcse-las -fno-tree-loop-optimize
9.280	0.64%	13.43%	-fno-tree-vrp
9.340	-0.65%	12.87%	-fno-section-anchors
9.290	0.54%	13.34%	-fno-tree-ter
9.260	0.32%	<b>13.62%</b>	--param large-unit-insns=3000

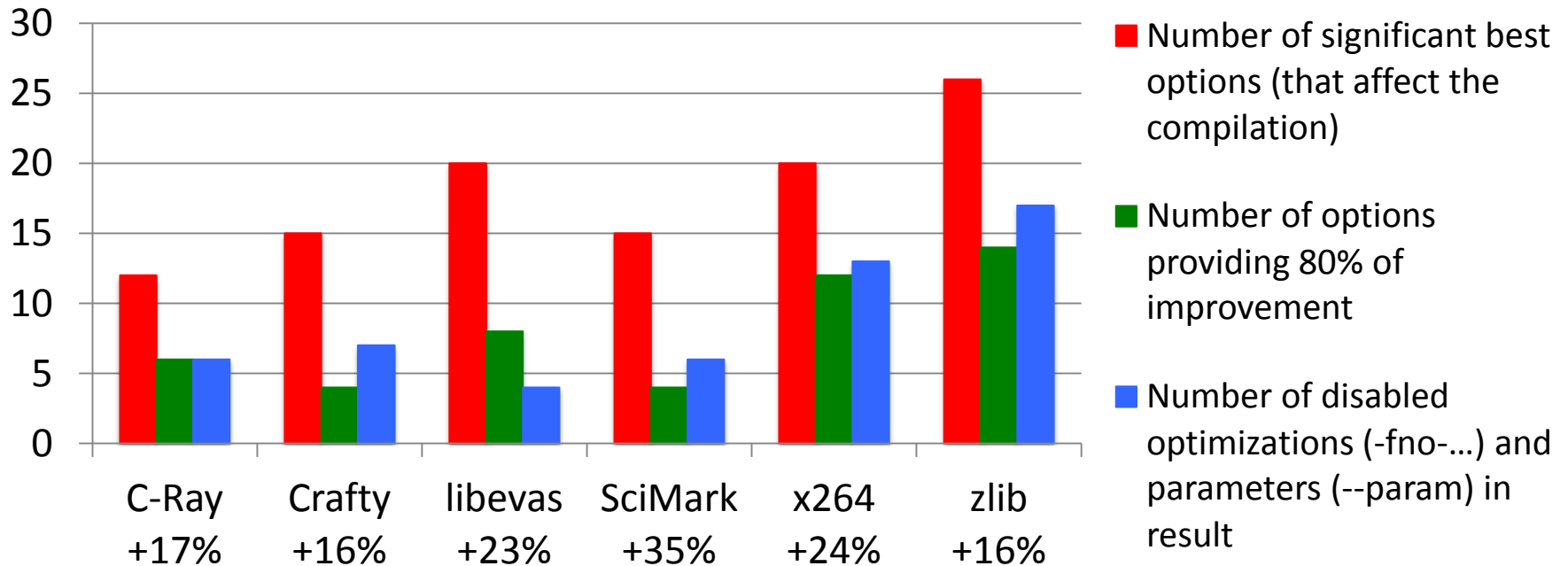
...

**RED:** default -O2 optimizations that don't work properly (or parameters that may have incorrect value) with significant impact

**GREEN:** candidate optimizations to enable by default for -O2 on this target

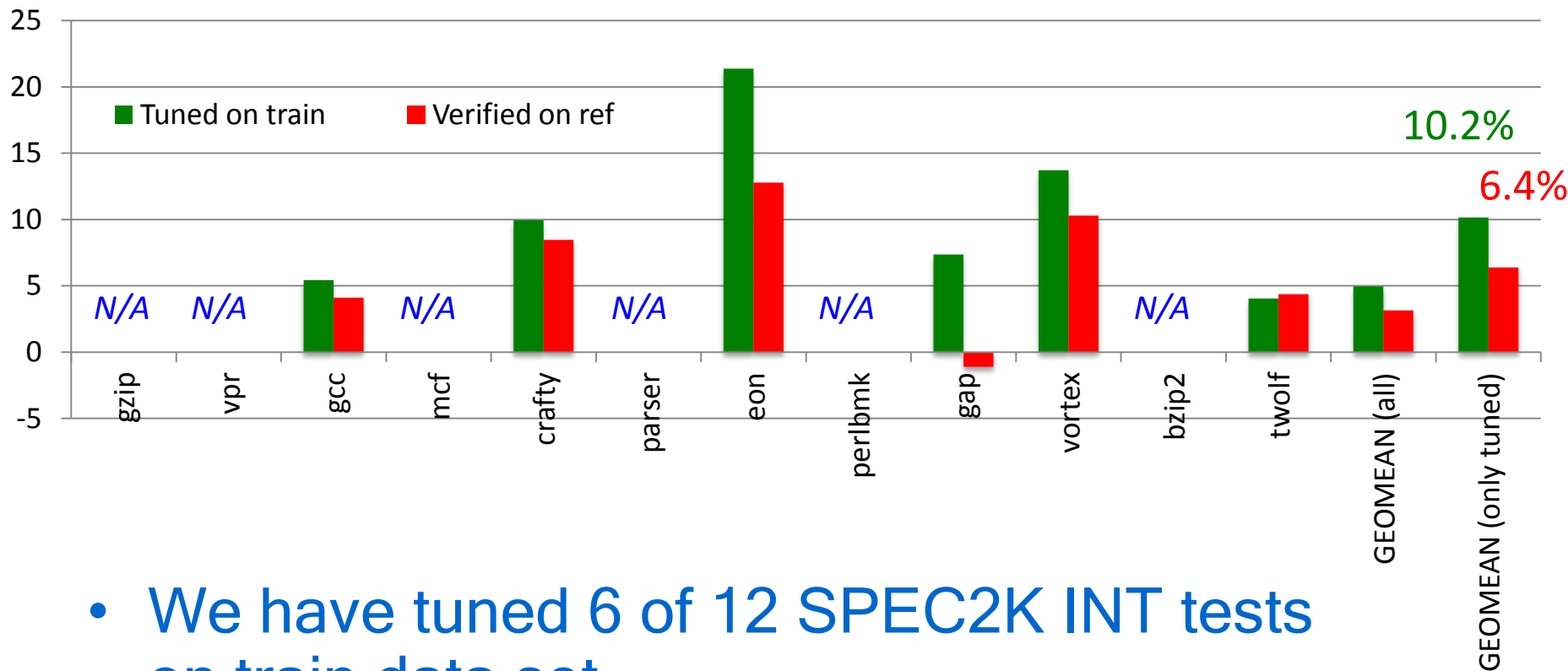
# Tuning of Selected Open-Source Apps

- 200 original GCC options, 30 generations



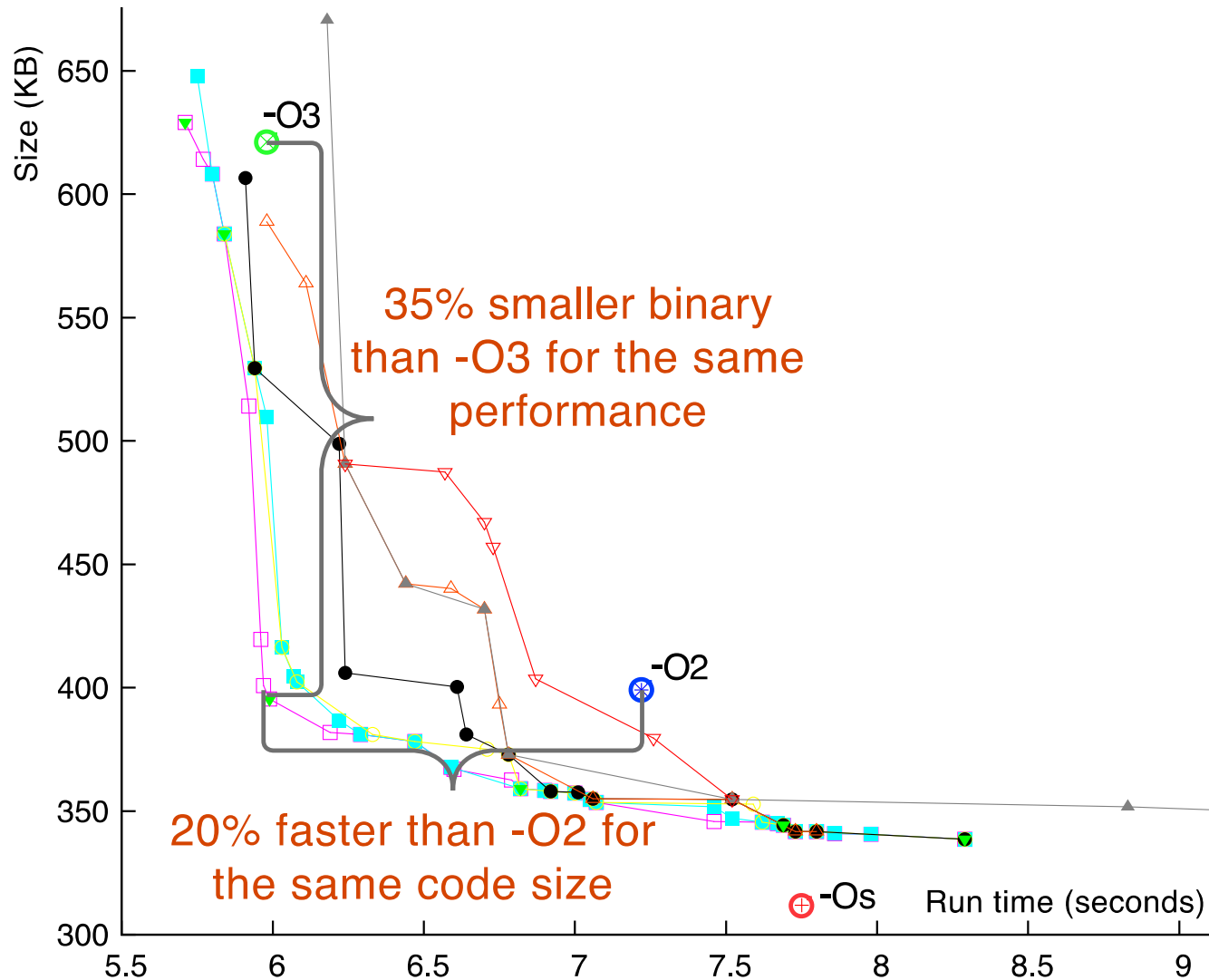
- There are few compiler options left for further manual analysis

# Tuning SPEC2K INT (Thumb-2)



- We have tuned 6 of 12 SPEC2K INT tests on train data set
- The results were verified with ref dataset
- Half of the speedup persists across different data sets

# Pareto Tuning for x264



# Движки JavaScript (SFX, V8)

# Динамические языки и VM

## ➤ Динамические языки

- Основные особенности:
  - Управление памятью (сборка мусора, контроль доступа к объектам, границ при обращении к массивам, и т.п.)
  - Динамические типы (классы могут изменяться, а также создаваться новые во время выполнения)
  - Создание нового кода во время выполнения (*eval*)
- Эти особенности делают статическую компиляцию затруднительной или невыгодной
- Примеры: JavaScript, Python, Ruby (и в некоторой степени Java)

# Интерпретация vs JIT компиляция

- Стандартный подход к реализации среды выполнения:
  - Программа компилируется в *байт-код* – набор простых инструкций, напоминающих ассемблер
  - Байт-код интерпретируется в виртуальной машине, которая также управляет динамическими объектами и предоставляет доступ к функциям времени выполнения
- JIT (Just-In-Time) Compilation – компиляция «на лету»:
  - Вместо интерпретации, байт-код сначала компилируется в код целевой архитектуры
  - Функции компилируются по мере необходимости, а не все заранее
  - Используется профилирование и спекулятивные оптимизации

# JIT компиляция

## ➤ Преимущества JIT-компилятора:

- Выполняет оптимизацию кода
- Может использовать внутреннее представление более низкого уровня, и более подходящее для оптимизаций, чем байт-код (например, SSA)
- Может оптимизировать программу под конкретные входные данные, т.к. работая во время выполнения, располагает данными о профиле программы («горячие» места, типы данных, значения переменных, вероятности переходов)
- Если профиль изменился, может «на лету» перекомпилировать программу

# JIT компиляция

## ➤ Недостатки:

- По сравнению с «обычным» (статическим) компилятором, сильно ограничен в сложности выполняемых оптимизаций, т.к. не должен задерживать выполнение программы

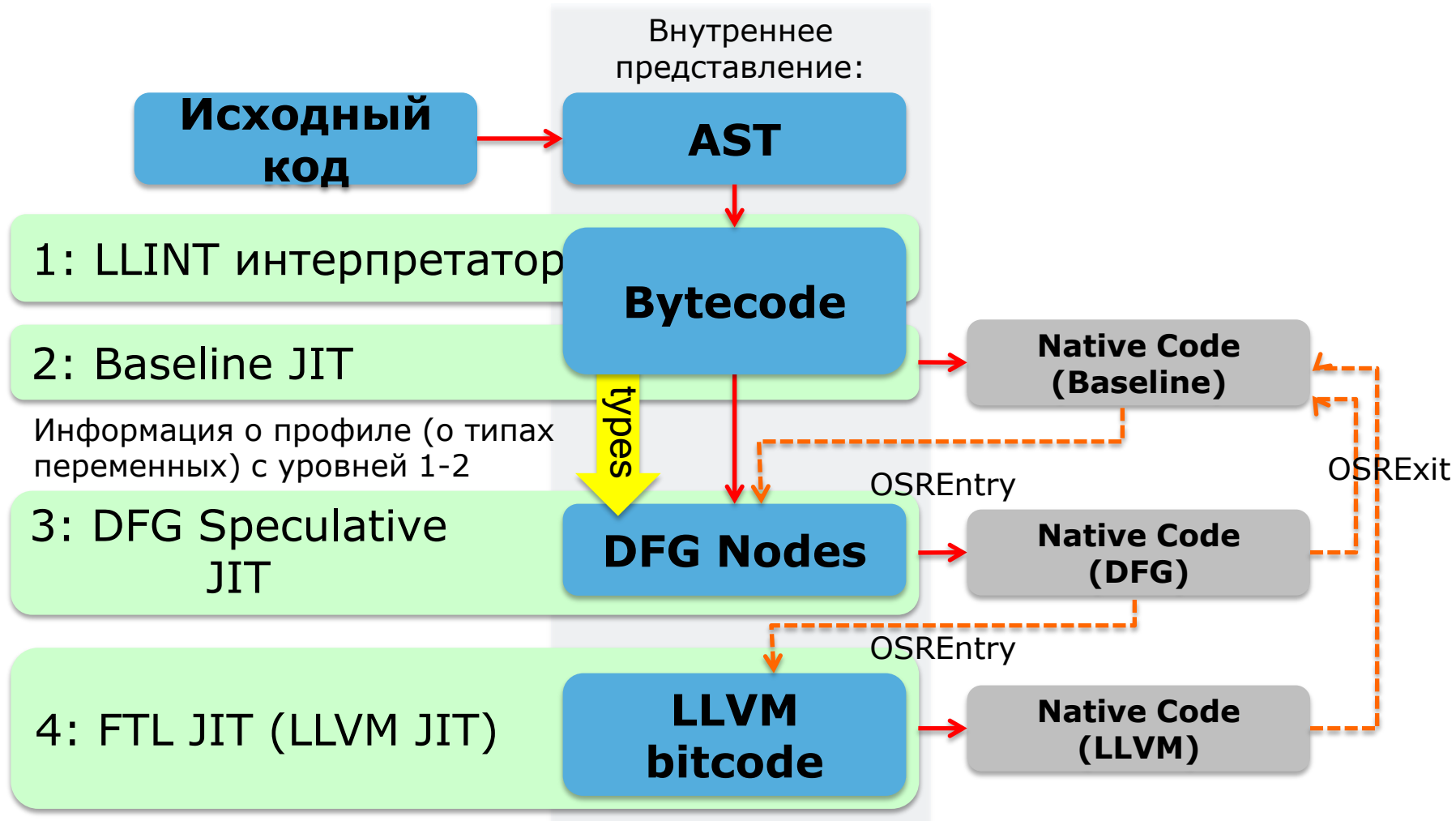
## ➤ Решение:

- Оптимизировать только самые «горячие» места
- Многоуровневый JIT: каждый уровень обрабатывает все более «горячие» места, сложность оптимизаций нарастает
- Делать сложные оптимизации для следующего уровня параллельно с исполнением неоптимизированного кода на предыдущем уровне

# Современные JavaScript-«движки»

- Самые популярные open-source проекты:
  - **SFX** (JavaScriptCore)
    - Используется в Safari и других браузерах на базе WebKit (BlackBerry)
    - Составная часть браузерного движка WebKit, разрабатывается Apple
  - **V8**
    - Используется в Google Chrome, встроенном браузере Android, а также Node.js
    - Основной JavaScript-движок в Blink (изначально был заменой для SFX в WebKit), разрабатывается Google
  - Mozilla SpiderMonkey
    - JS движок в Mozilla Firefox
- Общие особенности SFX и V8
  - Многоуровневый JIT, каждый уровень имеет собственное внутреннее представление и набор оптимизаций
  - Используется профилирование и спекулятивные оптимизации
  - Всего в ~2 раза медленнее C++ кода (SunSpider benchmark)

# Устройство Webkit JavaScriptCore



# Замена на стеке (On-Stack Replacement)

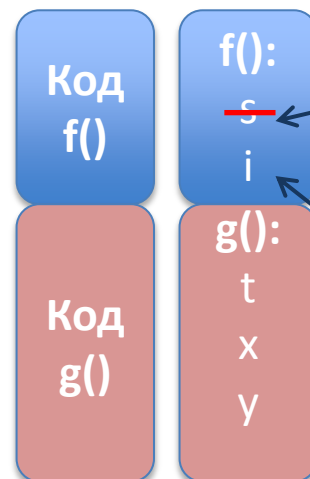
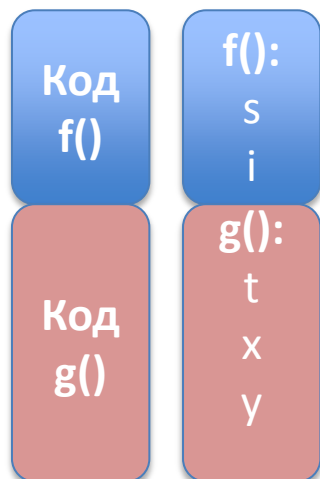
```
function g(t) {  
  var x, y;  
  ...  
}
```

```
function f(s) {  
  for (var i = 0; i < 10000; i++) {  
    s = g(i);  
  }  
}
```

i=1000: переход на  
DFG JIT:

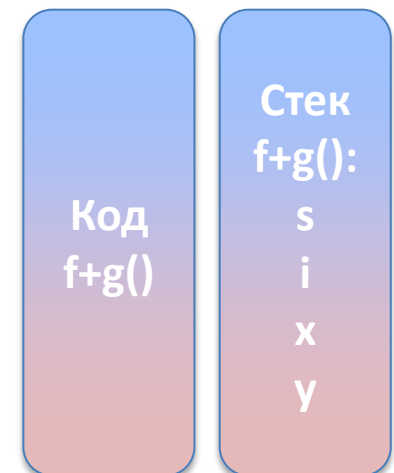
i=2000 в DFG JIT  
принято решение  
о встраивании g() в  
f():

Baseline JIT:



переменная  
может быть  
удалена

или быть  
распределена  
в регистр



По-разному оптимизированный код работает с разной раскладкой стека

# Пример компиляции JavaScript в SFX JIT

## JavaScript:

```
function foo() {  
    var i, s;  
    for (i = 0; i < 10000; i++) {  
        s += i;  
    }  
    return s;  
}
```



## байткод LLINT / Baseline JIT:

```
[ 0] enter  
[ 1] mov          r0, Int32: 0 (@k0)  
[ 4] jnless      r0, Int32: 10000 (@k1), 16 (->20)  
[ 8] loop_hint  
[ 9] add         r1, r1, r0  
[14] pre_inc     r0  
[16] loop_if_less r0, Int32: 10000 (@k1), -8 (->8)  
[20] ret         r1
```

# Пример компиляции JavaScript в SFX JIT

**11:** < 1:2> **GetLocal(@10, JS, r1(E), bc#9)** predicting StringIntDoublerealDoublenanOther

0x7f86bc7bc8fe: mov 0x8(%r13), %rcx

**13:** < 2:3> **GetLocal(@12, JS, r0(H<Int32>), bc#9)** predicting Int

0x7f86bc7bc902: mov 0x0(%r13), %ebx

**14:** <!1:2> **ValueAdd(@11, @13<Int32>, JS | MustGen | MightClobber | MayOverflow, bc#9)**

0x7f86bc7bc906: or %r14, %rbx

0x7f86bc7bc909: mov %rcx, 0x10(%r13)

0x7f86bc7bc90d: mov %rbx, 0x18(%r13)

0x7f86bc7bc911: mov %rcx, %rsi

0x7f86bc7bc914: mov %rbx, %rdx

0x7f86bc7bc917: mov %r13, %rdi

0x7f86bc7bc91a: mov \$0x9daff0, %r11

0x7f86bc7bc924: mov \$0xbadbeef, (%r11)

0x7f86bc7bc92b: mov \$0x9daff4, %r11

0x7f86bc7bc935: mov \$0xbadbeef, (%r11)

0x7f86bc7bc93c: mov \$0x0, -0x2c(%r13)

0x7f86bc7bc944: mov \$0x7f8700738685, %r11

0x7f86bc7bc94e: call %r11

0x7f86bc7bc951: xor %esi, %esi

0x7f86bc7bc953: mov \$0x9dc908, %r11

0x7f86bc7bc95d: mov (%r11), %r11

0x7f86bc7bc960: test %r11, %r11

0x7f86bc7bc963: jnz 0x7f86bc7bca05

**15:** < 2:-> **SetLocal(@14, r1(E), bc#9)** predicting StringIntDoublerealDoublenanOther

0x7f86bc7bc969: mov %rax, 0x8(%r13)

# Пример компиляции JavaScript в SFX JIT

```
19:      < 1:2> JSConstant(JS, $3 = Int32: 1, bc#14)
20:      <!2:2> ArithAdd(@13<Int32>, @19<Int32>, Number | MustGen | CanExit, bc#14)
      0x7f86bc7bc96d: mov 0x18(%r13), %rsi
      0x7f86bc7bc971: mov %rsi, %rdi
      0x7f86bc7bc974: add $0x1, %edi
      0x7f86bc7bc977: jo 0x7f86bc7bca17
21:      < 1:-> SetLocal(@20<Int32>, r0(H<Int32>), bc#14) predicting Int
      0x7f86bc7bc97d: mov %edi, 0x0(%r13)
22:      < 1:3> JSConstant(JS, $1 = Int32: 10000, bc#16)
23:      <!1:3> CompareLess(@20<Int32>, @22<Int32>, Boolean | MustGen | MightClobber, bc#16)
      0x7f86bc7bc981: cmp $0x2710, %edi
      0x7f86bc7bc987: jl 0x7f86bc7bc8fe
24:      <!0:-> Branch(@23<Boolean>, MustGen | CanExit, T:#1, F:#3, bc#16)
```

# Особенности JIT

## ➤ Многоуровневый JIT

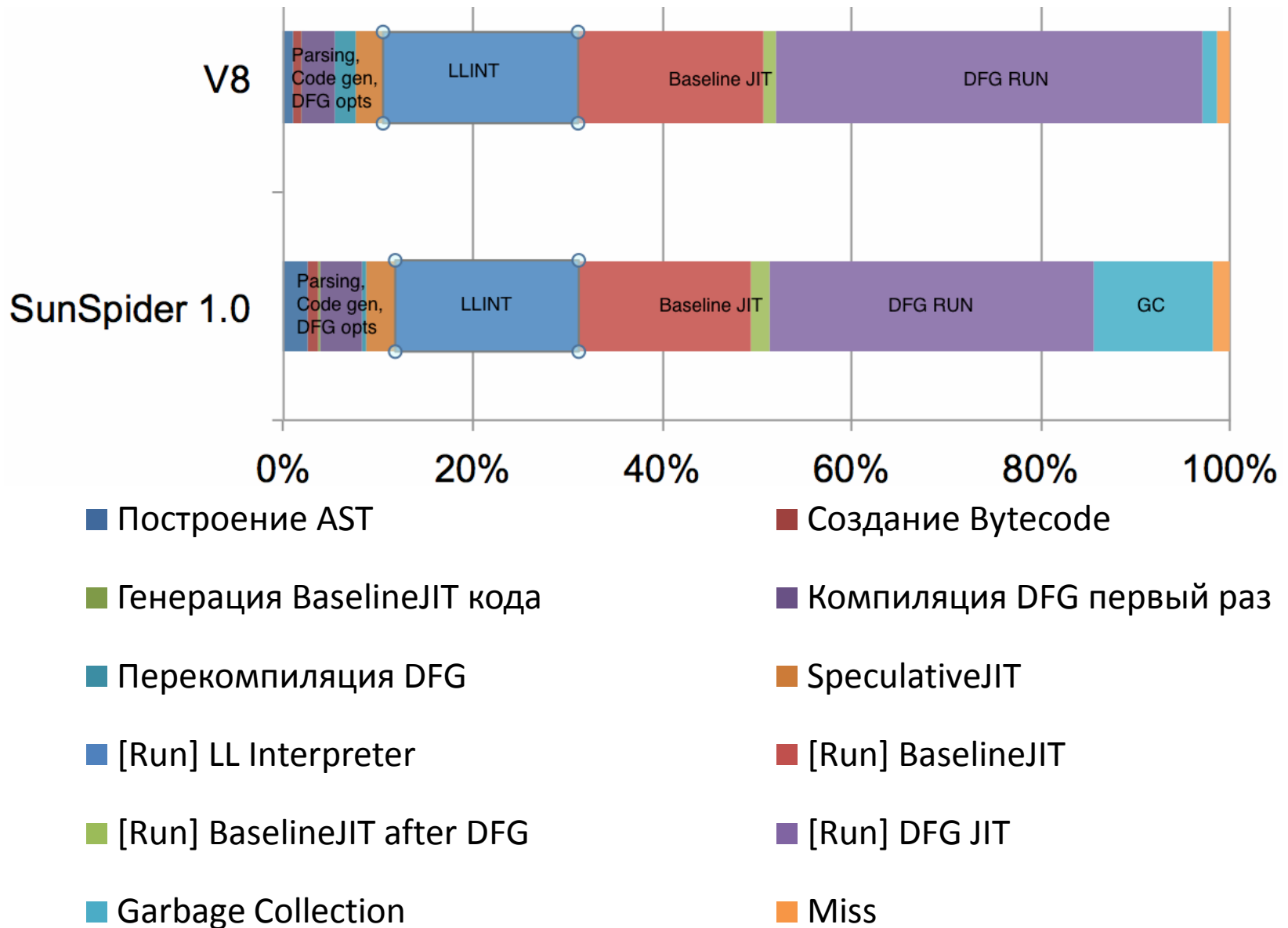
- 1-й уровень: JIT с быстрой компиляцией (либо даже интерпретатор) – включает только самые простые оптимизации. Сразу же начинает выполнять байткод, и собирает информацию о профиле программы
- 2-й уровень: оптимизирует только «горячие» места, выполняет более сложные оптимизации с использованием профиля, использует собственное внутреннее представление (например, SSA), может быть спекулятивным
- Возможно большее число уровней, а также переключение между компиляторами разных уровней при изменении профиля

# Особенности JIT

## ➤ Спекулятивный JIT

- Специализирует код для данных, полученных при профилировании (прежде всего типы объектов). Для обработки остальных случаев предусмотрены проверки, возвращающие выполнение на предыдущий уровень JIT
- Например, если профилирование показывает, что код работает только с целыми числами, можно использовать целочисленную арифметику и «обычные» регистры процессора, а результаты операций проверять на переполнение, и если оно произошло, продолжить выполнение на «базовом» JIT, код которого работает для любых типов объектов

# Анализ работы JSC



# Компоненты JSC: сравнение

Время выполнения мульти-язычного теста PL benchmark от автора Martin Richards

Тест	Время, мс
Язык C	1.2
JavaScript обычный интерпретатор	129
LLINT интерпретатор	58
Baseline JIT	8.4
DFG JIT	2.1

# Особенности оптимизации JavaScript

0 / -1 = ?

# Особенности оптимизации JavaScript

$$0 / -1 = ?$$

$$1 / (0 / -1) = ?$$

# Особенности оптимизации JavaScript

$$0 / -1 = -0$$

$$1 / (0 / -1) = -INF$$

# Отрицательный ноль

```
function foo() {  
  var x = 1;  
  var y = -1;  
  var s;  
  var i;  
  for (i = 0; i < 2001; i++) {  
    if (i == 2000) x = 0;  
    s = 1/(x/y);  
  }  
  return s;  
}  
var a = (1/(0/-1)).toString();  
var b = foo().toString();
```

В выражении  $1/(x/-1)$  переменная  $x$  меняет значение с 1 на 0.

Аналогичные примеры строятся для выражений

$1/(-x)$  и  $1/(x/-1+(-0))$ , а так же для выражения  $1/(x \% 4)$ , в последнем  $x$  меняет значение с 1 на -4

# Проверка на отрицательный ноль

Результатом должно быть  $-\text{Infinity}$

$1 / (-0)$  ;  $1 / (0 / -3)$  ;  $1 / (-4 \% 4)$

Проверки при целочисленном делении

$x \% y$  равно  $-0$ , когда  $\text{result} == 0$  и  $x < 0$

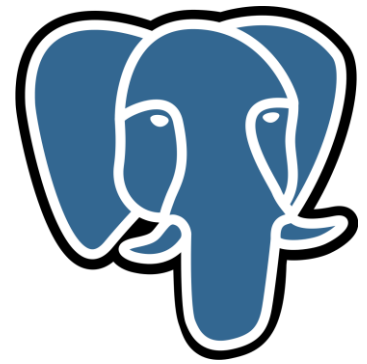
$x / y$  равно  $-0$ , когда  $x == 0$  и  $y < 0$

Проверка не всегда необходима:

$5 / (A \% B + 3)$

# **Ускорение исполнения запросов в PostgreSQL с использованием JIT-компилятора LLVM**

# Ускорение PostgreSQL



- Что именно мы хотим ускорить?
  - Сложные запросы, где «узким местом» в производительности является процессор, а не дисковые операции
    - OLAP, поддержка принятия решений, и т.д.
  - Цель: оптимизация производительности на наборе тестов TPC-H
- Как ускорить?
  - Использовать LLVM JIT, на первом этапе – для компиляции выражений в операторе WHERE

# Пример оптимизации запроса

```
SELECT COUNT (*) FROM tbl WHERE (x+y) > 20;
```

Aggregation

Scan

Filter

# Пример оптимизации запроса

SELECT COUNT (\*) FROM tbl WHERE **(x+y) > 20;**

Aggregation

Scan

Filter

ExecQual(): 56%  
времени исполнения  
(интерпретация)

# LLVM

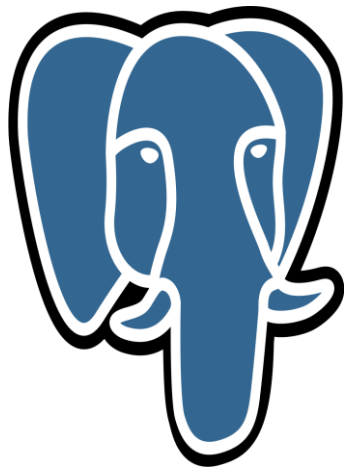


- LLVM (Low Level Virtual Machine) – компиляторная инфраструктура для компиляции и оптимизации программ
  - Платформенно-независимое внутреннее представление (LLVM bitcode)
  - Широкий набор оптимизаций
  - Кодогенерация под популярные платформы (x86, x86\_64, ARM, MIPS, ...)
  - Подходит для построения JIT-компиляторов: динамическая библиотека с API для генерации биткода, оптимизации и кодогенерации
  - Лицензия: UIUC (permissive BSD-like)
  - Сравнительно простой код, легко разобраться

# Использование LLVM JIT – популярный тренд

- Pyston (Python, Dropbox)
- HHVM (PHP & Hack, Facebook)
- LLILC (MSIL, .NET Foundation)
- Julia (Julia, community)
  
- JavaScript:
  - JavaScriptCore в WebKit (JavaScript, Apple)
  - LLV8 - добавление LLVM в качестве дополнительного уровня JIT в Google V8 (JavaScript, ISP RAS)

# Что получится, если добавить к Postgres LLVM JIT?



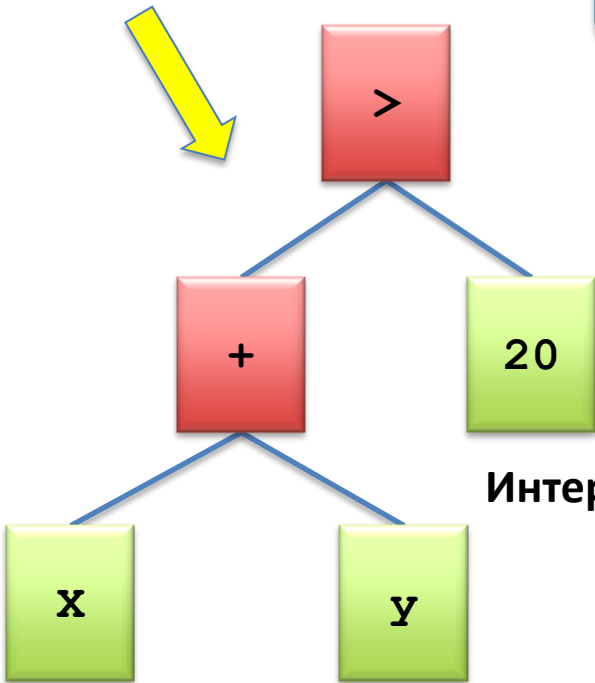
=



# Вычисление выражений

$(x+y) > 20$

Генератор  
LLVM-  
биткода



## Биткод LLVM

```
define i32 @where_expr(i32 %x, i32 %y) #0 {  
entry:  
  %add = add nsw i32 %y, %x  
  %cmp = icmp sgt i32 %add, 20  
  %conv = zext i1 %cmp to i32  
  ret i32 %conv  
}
```

LLVM MCJIT

Интерпретация

vs

Оптимизированный  
двоичный код

```
foo:  
  addl %esi, %edi  
  cmpl $20, %edi  
  setg %al  
  movzbl %al, %eax  
  retq
```

в ~10 раз  
быстрее

# Пример оптимизации запроса

SELECT

COUNT (\*)

FROM tbl

WHERE

**(x+y) > 20;**

Aggregation

Scan

Filter

**интерпретация:**  
56% времени  
исполнения

# Пример оптимизации запроса

SELECT

COUNT (\*)

FROM tbl

WHERE

(x+y) > 20;

Aggregation

Scan

Filter

интерпретация:

56%

испе

код, полученный  
LLVM:

6% времени  
исполнения

=> Ускорение выполнения запроса в 2 раза

# Related work (1)

1. T. Neuman. Efficiently Compiling Efficient Query Plans for Modern Hardware. Proceedings of the VLDB Endowment, Vol. 4, No. 9, 2011.
2. PGStrom
  - Расширение для PostgreSQL (Custom scan)
  - Выполнение запросов на GPU (Cuda)
3. Axle Project
  - OpenCL

# Related work (2)

## 4. Vitesse DB

- Коммерческое, проприетарное ПО на основе PostgreSQL
- Реализована часть идей из [1]:
  - Aggregation, Scan и Filter выполнены на LLVM в виде одной функции
  - Компиляция выражений в операторе WHERE с помощью LLVM
- Ускорение в 2-8 раз на Q1, в ~3 раза в среднем на TPC-H

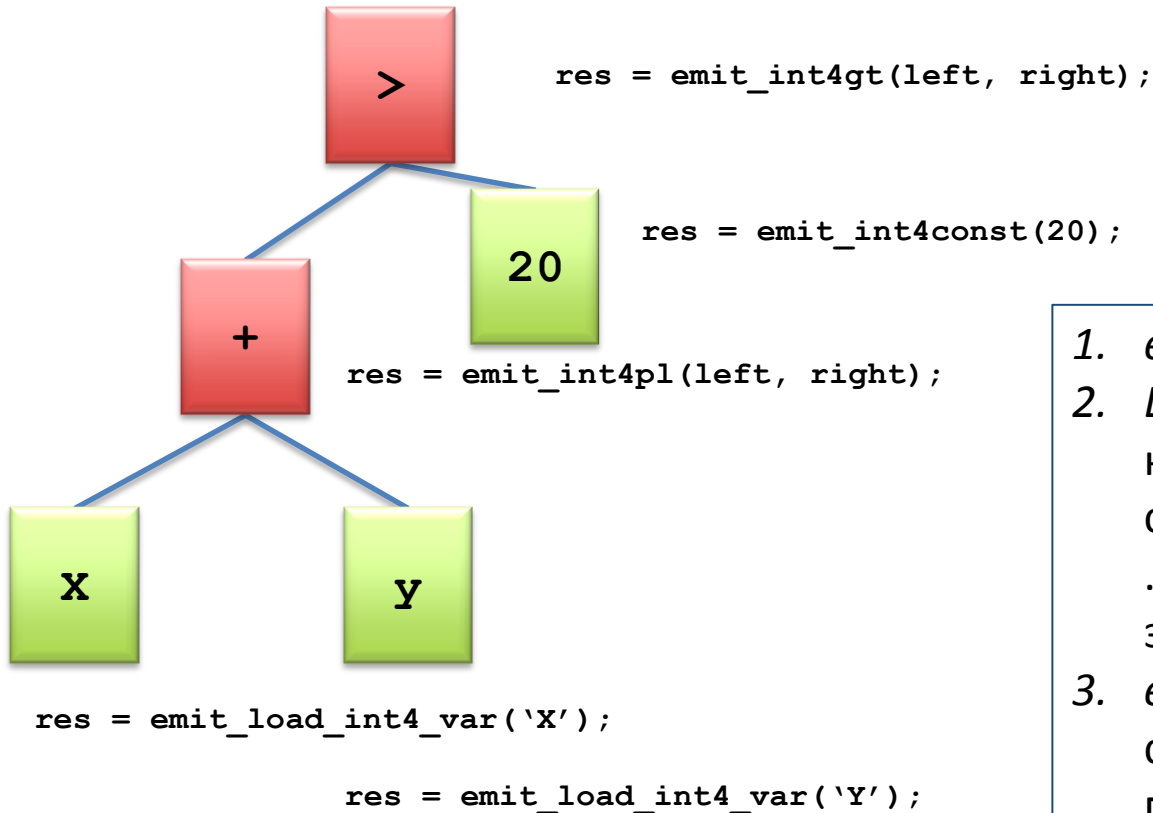
# 1-й шаг: компиляция выражений

- Расширение PostgreSQL (Custom Scan)
  - Для SeqScan изменена фильтрация:
    - Добавлена компиляция дерева выражений в LLVM
    - Исполнение оптимизированного кода для фильтрации каждого tuple
    - Поддерживаются базовые операции для int, float, Date (около 100 из ~2000)
- Результат: ускорение в 2 раза для простых синтетических тестов
  - удаление неявных вызовов для каждой операции
  - константы в запросе => значения в инструкции
  - оптимизация выражений средствами LLVM

# Поддержка операций в LLVM

- При обходе дерева выражений операция в узле не выполняется, а создает LLVM-биткод, который ей соответствует
- Необходимо реализовать кодогенерацию для всех операций и всех типов, поддерживаемых в выражениях (около 2000)
  1. Реализация всех операций вручную
    - однообразная работа, легко допустить ошибку, сложно поддерживать
  2. Предварительная компиляция кода операций в LLVM-биткод:  
*src/backend/\*.c => \*.bc => all\_ops.bc*
    - Долгая компоновка
  3. Автоматическая компиляция операций *src/backend/\*.c* в Си-код, использующий LLVM API для генерации кода из п.1
    - Соответствующий инструмент из LLVM устарел и не поддерживается

# Кодогенерация для выражений



1. `emit_int4gt()` { `LLVMBuildICmp(...);` }
2. `LLVMBuildCall("int4gt");`  
код `int4gt` уже скомпилирован при сборке PostgreSQL и подгружен из `.bc`-файла. При компиляции вызов заменится на тело функции.
3. `emit_int4gt()` как в п.1, но был создан автоматическим генератором на этапе сборки, как в п.2

# Профилирование TPC-H

## TPC-H Q1:

```

select
  l_returnflag,
  l_linestatus,
  sum(l_quantity) as sum_qty,
  sum(l_extendedprice) as sum_base_price,
  sum(l_extendedprice * (1 - l_discount)) as sum_disc_price,
  sum(l_extendedprice * (1 - l_discount) * (1 + l_tax)) as sum_charge,
  avg(l_quantity) as avg_qty,
  avg(l_extendedprice) as avg_price,
  avg(l_discount) as avg_disc,
  count(*) as count_order

from
  lineitem

where
  l_shipdate <=
  date '1998-12-01' -
  interval '60 days'

group by
  l_returnflag,
  l_linestatus

order by
  l_returnflag,
  l_linestatus;

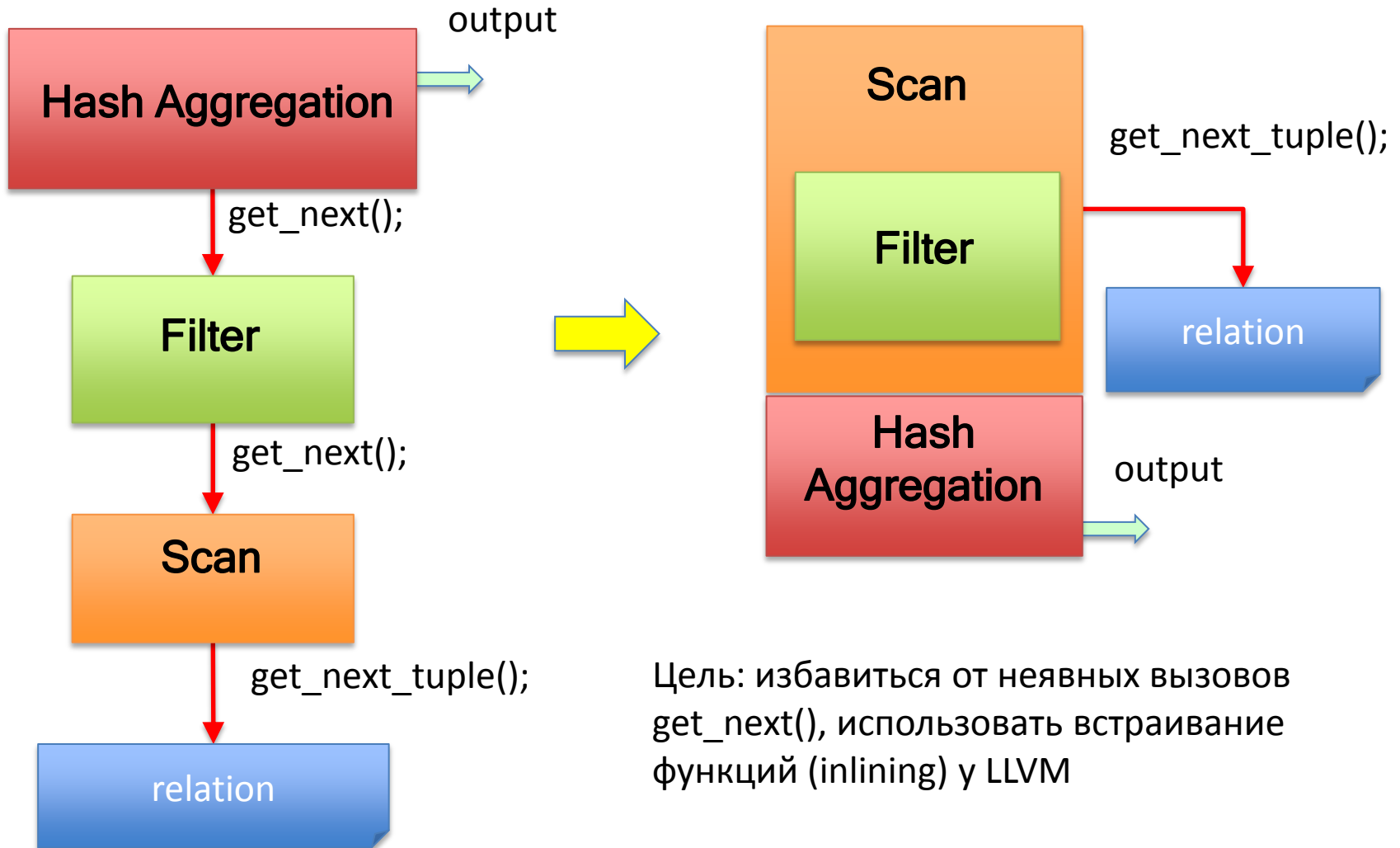
```

Function	TPC-H Q1	TPC-H Q2	TPC-H Q3	TPC-H Q6	TPC-H Q22	Average on TPC-H
ExecQual	6%	14%	32%	3%	72%	25%
ExecAgg	75%	-	1%	1%	2%	16%
SeqNext	6%	1%	33%	-	13%	17%
IndexNext	-	57%	-	-	19%	38%
BitmapHeapNext	-	-	-	85%	-	85%

# 2-й шаг: реализация Scan и Aggregation на LLVM

- Расширение PostgreSQL (Executor hook)
  - Реализация Scan, Aggregation на LLVM
    - Поддерживаются SeqScan, IndexScan, IndexOnlyScan, DirectAggregation, HashAggregation
  - Отказ от “Volcano-Style” итерационной модели
    - Реализация HashAggregation, SeqScan и Filter на LLVM в виде одной функции, внешний цикл выполняет Scan
- Результат: на данный момент ускорение ~25% на TPC-H Q1

# Избавление от итерационной “Volcano-style” модели



Цель: избавиться от неявных вызовов `get_next()`, использовать встраивание функций (inlining) у LLVM

# Заключение

- Разработано расширение PostgreSQL для динамической компиляции SQL-запросов с помощью LLVM JIT. Реализованы фазы:
  - Фильтрация (компилируются выражения из оператора WHERE, поддерживаются типы int, float, Date, Numeric)
  - Сканирование (SeqScan, IndexScan, IndexOnlyScan)
  - Агрегация (DirectAggregation, HashAggregation; sum, avg, count)
- Результаты:
  - Ускорение в  $\sim 2$  раза на простых синтетических тестах
  - Ускорение на  $\sim 25\%$  на TPC-H Q1

# Будущая работа

- Компиляция выражений: реализовать все операции и типы данных на LLVM, или скомпилировать автоматически из кода Postgres
- Реализовать на LLVM все виды сканирования и агрегации, сортировки (в т.ч. в одном цикле)
- Реализовать поддержку JOIN и подзапросов
- Реализовать на LLVM *slot\_deform\_tuple()* под конкретный запрос
- Тестирование на всех тестах TPC-H и других бенчмарках, профилирование, поиск мест для оптимизации

# Будущая работа

- Использование параллелизма:
  - Реализация параллельного сканирования и агрегации на LLVM
  - Параллельная компиляция
- Подготовка к релизу в Open Source, взаимодействие с PostgreSQL Community

**Спасибо!**

**Вопросы, пожелания, обратная связь:  
dm@ispras.ru**